20340400 ООО ЧЬ SПЬРЗПРОБЕР ЦАИТЬ ОТНОЗТЬ БЕТИЯ АКАДЕМИИ НАУК АРМЯНСКОЙ ССР

Мерфо-Лирьбит. фринтрацббът XIII, № 5, 1960 Физико-математические науки

ФИЗИКА

П. А. Безирганян, А. Г. Акритов

Зависимость интенсивности рентгеновских отраженных волн от формы отражающего кристалла (случай поглощающего кристалла)

В статье [1] мы исследовали зависимость интенсивности рентгеновских отраженных воли от ориентировки плоскости падения относительно поверхности кристалла (от формы кристалла) при данном зъде Вульфа-Брегга и данной системе отражающих плоскостей для случая непоглощающего кристалла.

В данной статье рассматривается зависимость интенсивности рентгеновских отраженных волн от ориентировки плоскости падения случае поглощающего кристалла. Здесь, как и в [1], рассматривется случай, когда кристалл в одном направлении неограничен, а остальных двух направлениях ограничен. В случае поглощающего ресталла функция атомного рассеяния, а, следовательно, и коэффишент преломления станут комплексными [2].

Пусть плоская монохроматическая волна, как и в [1], падает на крысталл в направлении единичного вектора S_0 , (фиг. 1) и точка наблюдения M из начала координат видна в напровлении S. Размеры и формы зон Френеля можно определить следующим образом. Разность поль в точке наблюдения M между волнами, отраженными от точек

О в A, если точка A расположена на грашие первой зоны Френеля, с точностью до г равна (см. фиг. 1)

$$\frac{x^2 \sin^2 \theta}{2R} + \frac{y^2}{2R} = \frac{\lambda}{2} \tag{1}$$

ETH

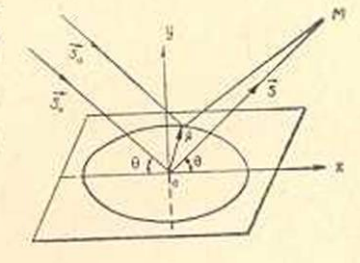
$$x^2 \sin^2 \theta - y^2 = \lambda R.$$

Размеры зон Френеля в направлениях Фиг. 1.

— в усоответственно обозначим через 2a и 2b, тогда получим

$$a = \frac{\sqrt{\lambda R}}{\sin \theta}, \quad b = \sqrt{\lambda R}.$$
 (2)

Имея в виду последнее, из (1) получим выстак АН, серия фил. мат. наук, № 5



$$\frac{x^2}{a^2} + \frac{y^2}{b^2} = 1$$

т. е. уравнение эллипса. Таким образом, для рентгеновских волн, отраженных от атомной плоскости, первая зона имеет форму эллипса, а остальные-эллиптических полос. Для площади первой зоны получим

$$s_1 = \pi ab = \frac{\pi \lambda R}{\sin \theta} \sim 10^{-8} \text{ cm}^2.$$

Для площадей остальных зон таким же образом получим (с точностью до λ^2)

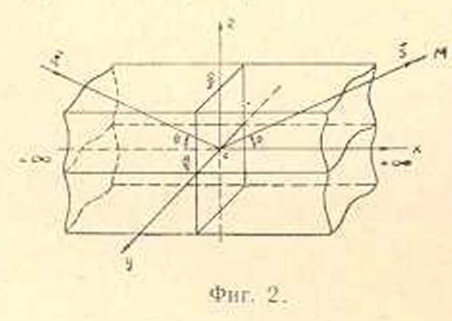
$$s_1 = s_2 = \dots = s_n = \frac{\pi \lambda R}{\sin \theta} \sim 10^{-8} c.\alpha^2$$

т. е. площади всех зон Френеля одинаковы. Как видно из (2), с уменьшением угла Вульфа-Брегга увеличивается большая ось первой зоны Френеля, тогда как малая ось не зависит от этого угла.

Следовательно, интенсивность отраженных воли при малых углах еще сильнее зависит от ориентировки плоскости падения относительно длины и ширины кристалла при данном угле падения.

Первый случай

Размеры кристалла в направлениях у и z соответственно равны B в C, а в направлении x не ограничены ($x=\pm\infty$, фиг. 2). В этом случае волна, отраженная от плоскости кристалла, совпадающей с



плоскостью
$$xoy$$
, будет
$$G = \frac{ne^{3}k}{2mc^{2}\sin\theta} \left[f'\left(2\theta, k\right) + if''\left(2\theta, k\right)\right] \times \\ \times \left[1 - i\right] \exp\left[ik\left(ct - R\right)\right] \times \\ \sqrt{\frac{2}{kR}} {}^{s}B \times \int \exp\left(-i\frac{\pi}{2}y^{2}\right) dy,$$

вещественная и мнимая части которой выражаются следующим образом:

$$\begin{split} G_{0}^{'} &= \frac{ne^{2k}}{2mc^{2}\sin^{4}} \left\{ f^{'}\left(2\theta,\,k\right) \left[\int\limits_{0}^{\sqrt{\frac{2}{iR}}\cdot B} \cos\frac{\pi}{2}\,y^{2}dy - \int\limits_{0}^{\sqrt{\frac{2}{kR}}\cdot B} \sin\frac{\pi}{2}\,y^{2}dy \,\right] + \\ &+ f^{''}\left(2\theta,\,k\right) \left[\int\limits_{0}^{\sqrt{\frac{2}{kR}}\cdot B} \cos\frac{\pi}{2}\,y^{2}dy + \int\limits_{0}^{\sqrt{\frac{2}{kR}}\cdot B} \sin\frac{\pi}{2}\,y^{2}dy \,\right] \end{split}$$

$$G_{i} = \frac{ne^{2}h}{2mc^{2}\sin\theta} \left\{ f''(2h, k) \left[\int_{0}^{\sqrt{\frac{2}{3R}}} B \cos\frac{\pi}{2} y^{2} dy - \int_{0}^{\sqrt{\frac{2}{3R}}} B \sin\frac{\pi}{2} y^{2} dy \right] - f'(2h, k) \left[\int_{0}^{\sqrt{\frac{2}{3R}}} B \cos\frac{\pi}{2} y^{2} dy + \int_{0}^{\sqrt{\frac{2}{3R}}} B \sin\frac{\pi}{2} y^{2} dy \right] \right\}$$

$$= \frac{ne^{2}h}{2mc^{2}\sin\theta} \left\{ f'(0, k) \left[\int_{0}^{\sqrt{\frac{2}{3R}}} B \cos\frac{\pi}{2} y^{2} dy - \int_{0}^{\sqrt{\frac{2}{3R}}} B \sin\frac{\pi}{2} y^{2} dy \right] + f''(0, k) \left[\int_{0}^{\sqrt{\frac{2}{3R}}} B \cos\frac{\pi}{2} y^{2} dy + \int_{0}^{\sqrt{\frac{2}{3R}}} B \sin\frac{\pi}{2} y^{2} dy \right] \right\}$$

$$= \frac{ne^{2}h}{2mc^{2}\sin\theta} \left\{ f''(0, k) \left[\int_{0}^{\sqrt{\frac{2}{3R}}} B \cos\frac{\pi}{2} y^{2} dy - \int_{0}^{\sqrt{\frac{2}{3R}}} B \sin\frac{\pi}{2} y^{2} dy \right] \right\}$$

$$= \frac{ne^{2}h}{2mc^{2}\sin\theta} \left\{ f''(0, k) \left[\int_{0}^{\sqrt{\frac{2}{3R}}} B \cos\frac{\pi}{2} y^{2} dy - \int_{0}^{\sqrt{\frac{2}{3R}}} B \sin\frac{\pi}{2} y^{2} dy \right] - f'(0, k) \left[\int_{0}^{\sqrt{\frac{2}{3R}}} B \cos\frac{\pi}{2} y^{2} dy + \int_{0}^{\sqrt{\frac{2}{3R}}} B \sin\frac{\pi}{2} y^{2} dy \right] \right\}$$

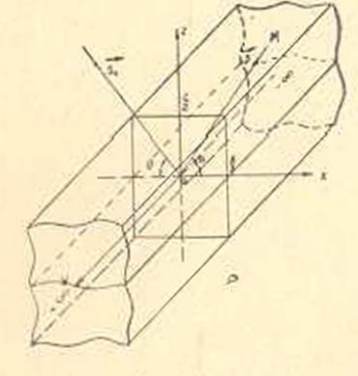
где Σ_0 и Σ_0^* вещественная и мнимая части амплитуды волны, отраженной от этой же плоскости в направлении падающей волны.

Второй случай

Во втором случае, т. е. когда размеры кристалла в направлении в в соответственно равны A и C. а в направлении у не ограничены

0 = ± ∞ фиг. 3), для волны, отраженной от плоскости кристалла, совпадаюшей с плоскостью хоу, получим

$$\begin{split} & \theta \! = \! \frac{ne^{2k}}{2mc^{2}\sin\theta} \left[f'\left(2\theta,\;k\right) + if''\left(2\theta,\;k\right) \right] \times \\ & \times \left[1 - t \right] \; \exp\left[ik\left(\varepsilon t - R\right)\right] \times \\ & \times \int \frac{\sqrt{\frac{2}{2R}} \cdot \sin\theta \cdot A}{\exp\left(-i\frac{\pi}{2}x^{2}\right) dx}. \end{split}$$



Фиг. 3.

Следовательно, в этом случае вещественные и мнимые части змануд могут выражаться следующими формулами:

$$G_{0} = \frac{ne^{2\lambda}}{2mc^{2}\sin\theta} \left\{ f'(2\theta, k) \left[\int_{0}^{\sqrt{\frac{2}{\lambda R}} \cdot \sin\theta \cdot A} \cos\frac{\pi}{2} x^{2} dx - \int_{0}^{\sqrt{\frac{2}{\lambda R}} \cdot \sin\theta \cdot A} \sin\frac{\pi}{2} x^{2} dx \right] + \int_{0}^{\sqrt{\frac{2}{\lambda R}} \cdot \sin\theta \cdot A} \sin\frac{\pi}{2} x^{2} dx \right] + \int_{0}^{\sqrt{\frac{2}{\lambda R}} \cdot \sin\theta \cdot A} \cos\frac{\pi}{2} x^{2} dx + \int_{0}^{\sqrt{\frac{2}{\lambda R}} \cdot \sin\theta \cdot A} \sin\frac{\pi}{2} x^{2} dx \right] \right\}$$

$$G_{0} = \frac{ne^{2\lambda}}{2mc^{2}\sin\theta} \left\{ f''(2\theta, k) \left[\int_{0}^{\sqrt{\frac{2}{\lambda R}} \cdot \sin\theta \cdot A} \cos\frac{\pi}{2} x^{2} dx - \int_{0}^{\sqrt{\frac{2}{\lambda R}} \cdot \sin\theta \cdot A} \sin\frac{\pi}{2} x^{2} dx \right] - \int_{0}^{\sqrt{\frac{2}{\lambda R}} \cdot \sin\theta \cdot A} \cos\frac{\pi}{2} x^{2} dx + \int_{0}^{\sqrt{\frac{2}{\lambda R}} \cdot \sin\theta \cdot A} \cos\frac{\pi}{2} x^{2} dx - \int_{0}^{\sqrt{\frac{2}{\lambda R}} \cdot \sin\theta \cdot A} \cos\frac{\pi}{2} x^{2} dx - \int_{0}^{\sqrt{\frac{2}{\lambda R}} \cdot \sin\theta \cdot A} \cos\frac{\pi}{2} x^{2} dx - \int_{0}^{\sqrt{\frac{2}{\lambda R}} \cdot \sin\theta \cdot A} \cos\frac{\pi}{2} x^{2} dx - \int_{0}^{\sqrt{\frac{2}{\lambda R}} \cdot \sin\theta \cdot A} \cos\frac{\pi}{2} x^{2} dx + \int_{0}^{\sqrt{\frac{2}{\lambda R}} \cdot \sin\theta \cdot A} \sin\frac{\pi}{2} x^{2} dx \right] \right\}$$

$$= \int_{0}^{\sqrt{\frac{2}{\lambda R}} \cdot \sin\theta \cdot A} \cos\frac{\pi}{2} x^{2} dx + \int_{0}^{\sqrt{\frac{2}{\lambda R}} \cdot \sin\theta \cdot A} \sin\frac{\pi}{2} x^{2} dx - \int_{0}^{\sqrt{\frac{2}{\lambda R}} \cdot \sin\theta \cdot A} \cos\frac{\pi}{2} x^{2} dx - \int_{0}^{\sqrt{\frac{2}{\lambda R}} \cdot \sin\theta \cdot A} \cos\frac{\pi}{2} x^{2} dx - \int_{0}^{\sqrt{\frac{2}{\lambda R}} \cdot \sin\theta \cdot A} \cos\frac{\pi}{2} x^{2} dx - \int_{0}^{\sqrt{\frac{2}{\lambda R}} \cdot \sin\theta \cdot A} \cos\frac{\pi}{2} x^{2} dx - \int_{0}^{\sqrt{\frac{2}{\lambda R}} \cdot \sin\theta \cdot A} \cos\frac{\pi}{2} x^{2} dx - \int_{0}^{\sqrt{\frac{2}{\lambda R}} \cdot \sin\theta \cdot A} \cos\frac{\pi}{2} x^{2} dx - \int_{0}^{\sqrt{\frac{2}{\lambda R}} \cdot \sin\theta \cdot A} \cos\frac{\pi}{2} x^{2} dx - \int_{0}^{\sqrt{\frac{2}{\lambda R}} \cdot \sin\theta \cdot A} \cos\frac{\pi}{2} x^{2} dx - \int_{0}^{\sqrt{\frac{2}{\lambda R}} \cdot \sin\theta \cdot A} \cos\frac{\pi}{2} x^{2} dx - \int_{0}^{\sqrt{\frac{2}{\lambda R}} \cdot \sin\theta \cdot A} \cos\frac{\pi}{2} x^{2} dx - \int_{0}^{\sqrt{\frac{2}{\lambda R}} \cdot \sin\theta \cdot A} \cos\frac{\pi}{2} x^{2} dx - \int_{0}^{\sqrt{\frac{2}{\lambda R}} \cdot \sin\theta \cdot A} \cos\frac{\pi}{2} x^{2} dx - \int_{0}^{\sqrt{\frac{2}{\lambda R}} \cdot \sin\theta \cdot A} \cos\frac{\pi}{2} x^{2} dx - \int_{0}^{\sqrt{\frac{2}{\lambda R}} \cdot \sin\theta \cdot A} \cos\frac{\pi}{2} x^{2} dx - \int_{0}^{\sqrt{\frac{2}{\lambda R}} \cdot \sin\theta \cdot A} \cos\frac{\pi}{2} x^{2} dx - \int_{0}^{\sqrt{\frac{2}{\lambda R}} \cdot \sin\theta \cdot A} \cos\frac{\pi}{2} x^{2} dx - \int_{0}^{\sqrt{\frac{2}{\lambda R}} \cdot \sin\theta \cdot A} \cos\frac{\pi}{2} x^{2} dx - \int_{0}^{\sqrt{\frac{2}{\lambda R}} \cdot \sin\theta \cdot A} \cos\frac{\pi}{2} x^{2} dx - \int_{0}^{\sqrt{\frac{2}{\lambda R}} \cdot \sin\theta \cdot A} \cos\frac{\pi}{2} x^{2} dx - \int_{0}^{\sqrt{\frac{2}{\lambda R}} \cdot \sin\theta \cdot A} \cos\frac{\pi}{2} x^{2} dx - \int_{0}^{\sqrt{\frac{2}{\lambda R}} \cdot \sin\theta \cdot A} \cos\frac{\pi}{2} x^{2} dx - \int_{0}^{\sqrt{\frac{2}{\lambda R}} \cdot \sin\theta \cdot A} \cos\frac{\pi}{2} x^{2} dx - \int_{0}^{\sqrt{\frac{2}{\lambda R}} \cdot \sin\theta \cdot$$

$$-\int\limits_{0}^{\sqrt{\frac{2}{\lambda R}}\cdot\sin\theta\cdot A}\sin\frac{\pi}{2}\,x^{2}dx\left]-\int\limits_{0}^{\sqrt{\frac{2}{\lambda R}}\cdot\sin\theta\cdot A}\cos\frac{\pi}{2}\,x^{2}dx\right]-\int\limits_{0}^{\sqrt{\frac{2}{\lambda R}}\cdot\sin\theta\cdot A}\sin\frac{\pi}{2}\,x^{2}dx\left]\right\}.$$

Вещественная и мнимая части функции атомного рассеяния определяются так же, как и в [2]. Повторяя все соответствующие выкладки, сделанные в [1] и [2], для интенсивности отраженных воли, в обоих рассмотренных здесь случаях, получим одно и то же выражение

$$\begin{split} \left| \frac{S_0}{T_0} \right|^2 &= \frac{[G_0]^2 + |G_0|^2}{U + V + W}, \\ U &= [dk (\theta - \theta_0) \cos \theta_0 - \Sigma_0]^2 + [\Sigma_0]^2, \\ W &= V \overline{L_1^2 + L_2^2}, \\ V &= 2 \sqrt{UW} \cos (\varphi_1 - \varphi_2), \end{split}$$

где 🕫 и 🕫 определяются из выражений

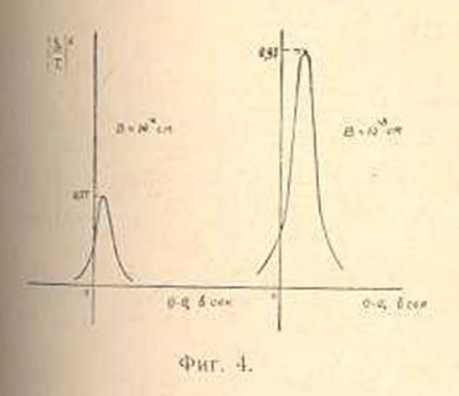
$$\operatorname{tg} \varphi_1 = \frac{\Sigma_0'}{dk \left(\theta - \theta_0\right) \cos \theta_0 - \Sigma_0'}, \qquad \operatorname{tg} \varphi_2 = \frac{L_1}{L_2},$$

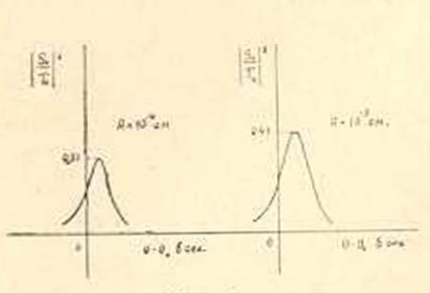
а L, и L, соответственно равны

$$\begin{split} L_1 &= 2\Sigma_0^{'} \left[dk \left(\theta - \theta_0 \right) \cos \theta_0 - \Sigma_0^{'} \right] + 2G_0^{'} G_0^{'}, \\ L_2 &= \left[dk \left(\theta - \theta_0 \right) \cos \theta_0 - \Sigma_0^{'} \right]^2 + \left[G_0^{'} \right]^2 - \left[\Sigma_0^{'} \right]^2 - \left[G_0^{'} \right]^2. \end{split}$$

Однако, в первом случае G_0 , G_0 , Σ_0 и Σ_0 определяются по (3). во втором — по (4).

Результаты всех вычислений для кристалла кальцита в случае взлучения M_0K_0 представлены на фиг. 4 и 5.





Фиг. 5.

Из результатов вычислений можно сделать следующие выводы: 1. как и в случае непоглощающего кристалла, в случае поглощающего кристалла, когда первая зона Френеля больше или порядка отражающих плоскостей (размеры крысталла 10⁻⁴ - 10⁻⁵ см), интенсивность отраженных рентгеновских воли сильно зависит от ориентировки плоскости падения при данном угле Вульфа-Брегга и данной системе отражающих плоскостей (см. фиг. 4 и 5);

- при вращении отражающих плоскостей вокруг их нормалей, интенсивность отраженных воли принимает максимальное значение, когда проекция направления падающей волны на отражающую плоскость параллельна дливному ребру кристалда;
- З. зависимость интенсивности отраженных рентгеновских волн от ориентировки плоскости падения тем сильнее, чем меньше угол Вульфа-Брегга при данной длине волны и данном порядке отражения, т. е. эта зависимость выражается тем резче, чем больше межплоскостное расстояние отражающих плоскостей;
- 4. при поглощающем кристалле коэффициент преломления с приближением к краю поглощения уменьшается, а длина волны увеличивается, следовательно, площади зон Френеля увеличиваются. В зависимости от размеров кристалла, это может привести к усилению или к ослаблению зависимости интенсивности отраженных рентгеновских воли от ориентировки плоскости падения. В данном случае, так как длина волны M₀K_x излучения значительно больше даже длины волны края поглощения кальцита, то поглощение незначительное, следовательно, незначительно и изменение площадей зон Френеля.

Ереванский государственный университет, Армянский сельскохозяйственный институт

Поступила 4 1 1960

Բեգիբգանյան Պ. Հ. Ակբիոով Ա. Գ.

ՌԵՆՏԳԵՆՅԱՆ ԱՆԴՐԱԴԱՐՁԱԾ ԱԼԻՔՆԵՐԻ ԻՆՏԵՆՍԻՎՈՒԹՅԱՆ ԿԱԽՈՒՄԸ ԱՆԴՐԱԴԱՐՁՆՈՂ ԲՅՈՒՐԵՂԻ ՁԵՎԻՑ (ԿԼԱՆՈՂ ԲՅՈՒՐԵՂԻ ԴԵՊՔԸ)

UFOUDDE

[1] Տոդվածում ըննարկված է ռենադենկան անդրադարցած ալիքների ինտենսիվության կախումը բլուրեղի մակերևուլթի նկատմամբ անկման հարթության ունեցած դիրքից (բյուրեղի ձևից), Վուլֆի-Բրեդի տվյալ անկյան և անդրադարձնող հարթությունների տվյալ սիստեմի համար չկլանող բլուբեղի դեպքում։

Տվլալ հոդվաժում ըննաթկվում է ռենադենլան անդրադարձած ալիքների ինտենսիվության կախումը անկման հարթության դիրքից կլանող բլուրեղի դեպքում։ Հաջվումների արդյունքներից արվում են հետևյալ եզրակացությունները.
1. Ինչպես չկյանող բյուրեցի, այնպես էլ կլանոց բյուրեցի դեպքում,
հրբ երենելի առաջին գոնան մեծ է կամ անդրագարձնող հարթեությունների

կարդի է (բլուրեղի չափերը 10⁻¹ — 10⁻⁵ ան կարդի են) սեծադենյան անդրադարձած ճառագայթնների ինաենսիվությունը խիստ կերպով կախված է անկման ճարթության դիրջից Վույֆի-Բրեգի տվյալ անկյան և անդրադարձնող

հարթությունների ավյալ սիստեմի դեպքում։

2. Անդրադարձնող հարթությունները իրենց նորմայի բուրջը պտտելիս անդրադարձած ճառադալքների ինտենսիվուքյունն ընդունում է մեժագույն արժեք այն դեպքում, երբ ընկնող ուլիքի ուղղություն պրոեկցիան անդրա-գարձնող հարթությունների վրա դուդահեռ է բլուրեղի երկար կողին։

3. Արդ կախումն այնքան ավելի խիստ է, որքան փոքր է Վուլֆի-Բրեդի անկլունը (ավյալ ալիքի երկարության և անդրադարձման ավյալ կարգի

ghupped):

4. Կլանող բյուրեղի դեպքում կլանման եղբին մոտենալիս բեկման ցուփչը փոքրանում է, իսկ ալիքի երկարությունը մեծանում է հետևապես Ֆրենելի դոնաների մակերևույթները մեծանում են և կախված բյուրեղի չափերից արբ կարող է բերել ռենադենլան անդրադարձած ճառագայթների ինտենսիփոքյան անկման հարթության դիրքից ունեցած կախման կամ ուժեղացման կամ Թուլացման։

ЛИТЕРАТУРА

- Безирганян П. А., Акритов А. Г. Зависимость интенсивности рентгеновских отраженимх воли от формы отражающего кристалла. "Известия АН АрмССР (серия фил.-мат. наук)*, 13, № 2, 1960.
- Безирганян П. А. Динамичнская теория интерференции рентгеновских лучей для конечного кристалла. "ДАН АрмССР", 29, № 5, 1959.